

Fig. 1

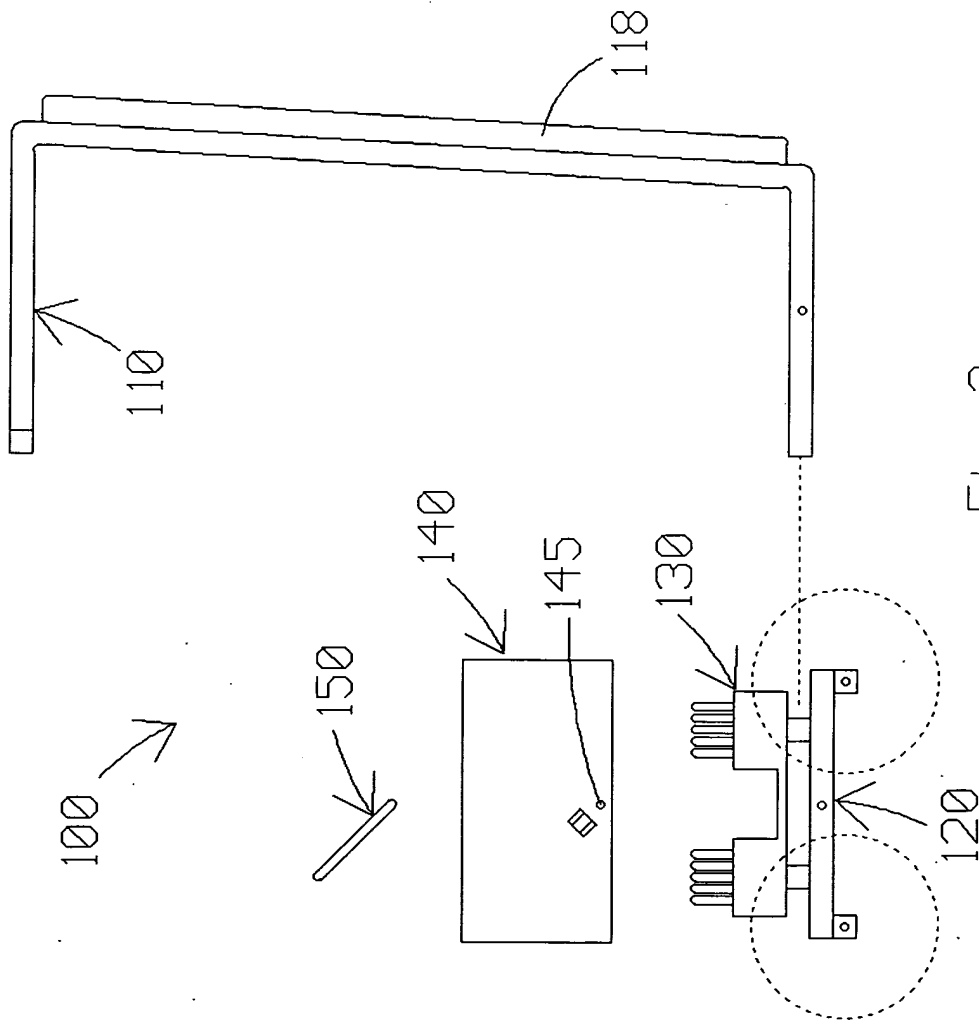


Fig. 2

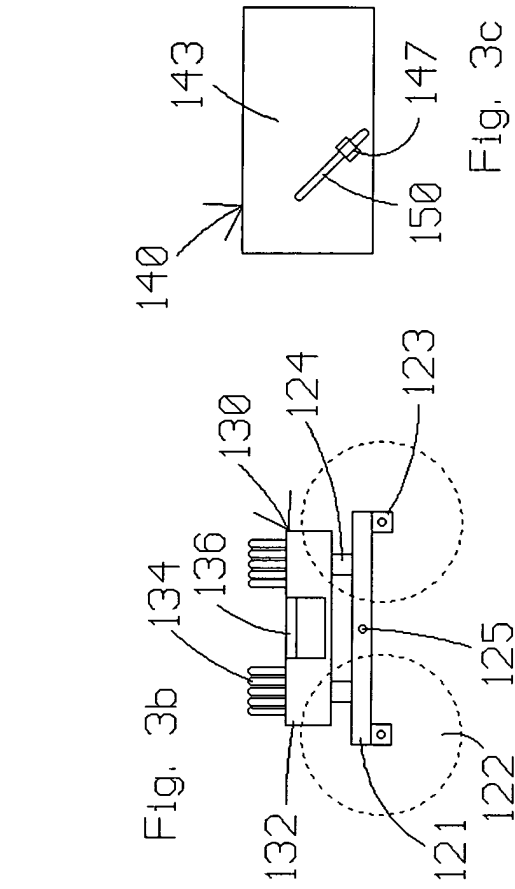
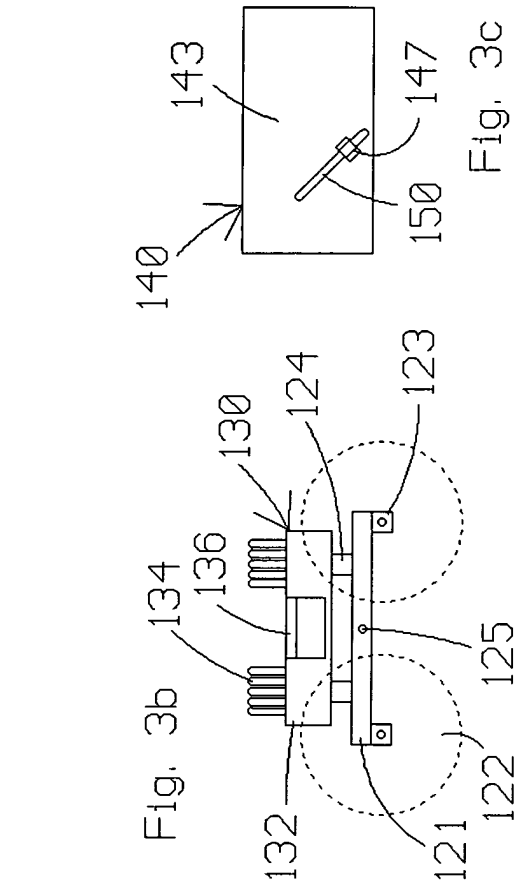
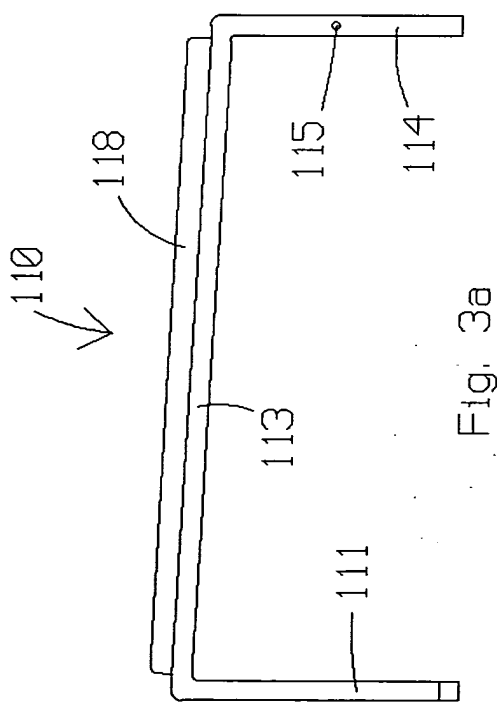
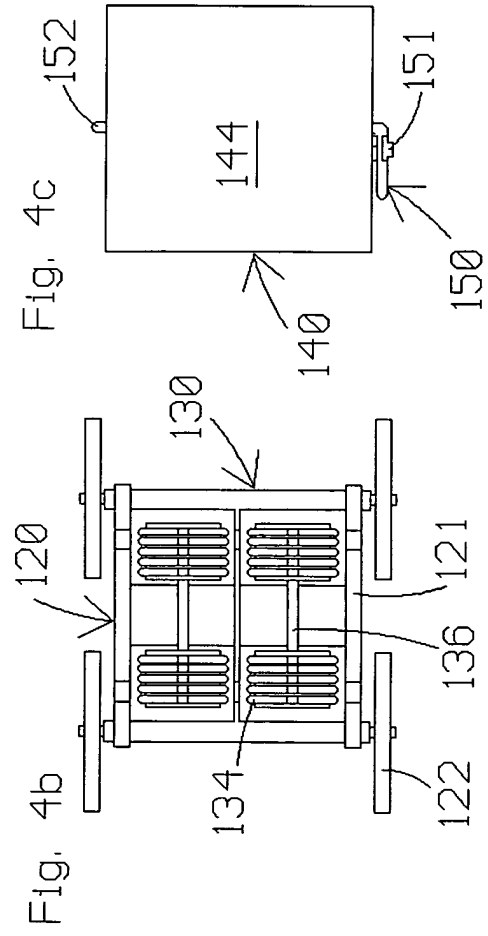
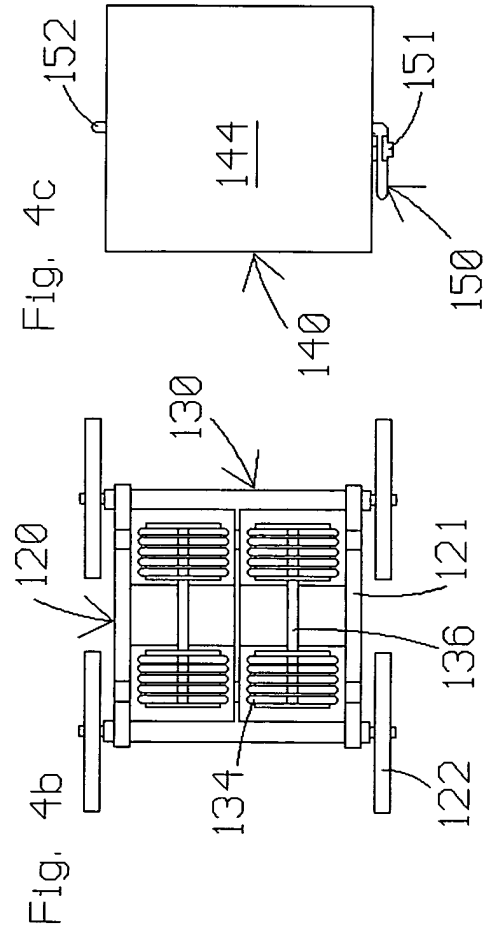
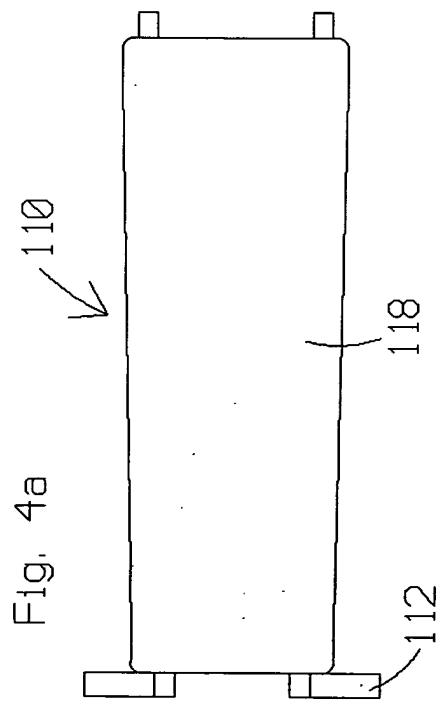


Fig. 3c

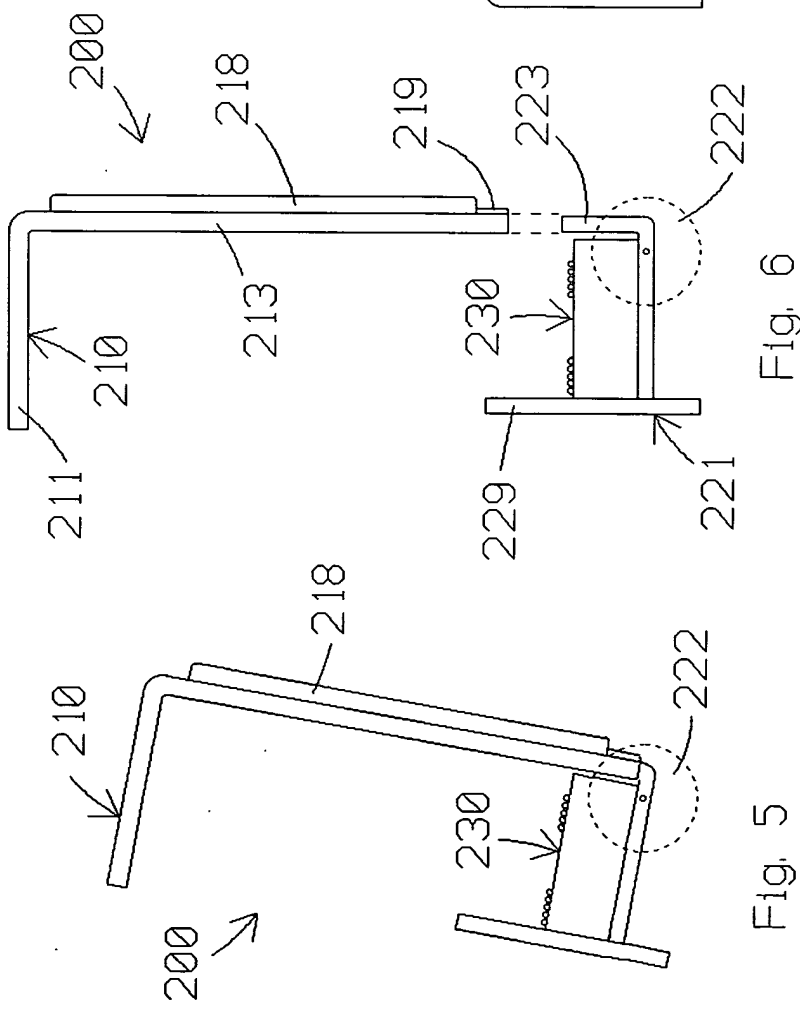


Fig. 5

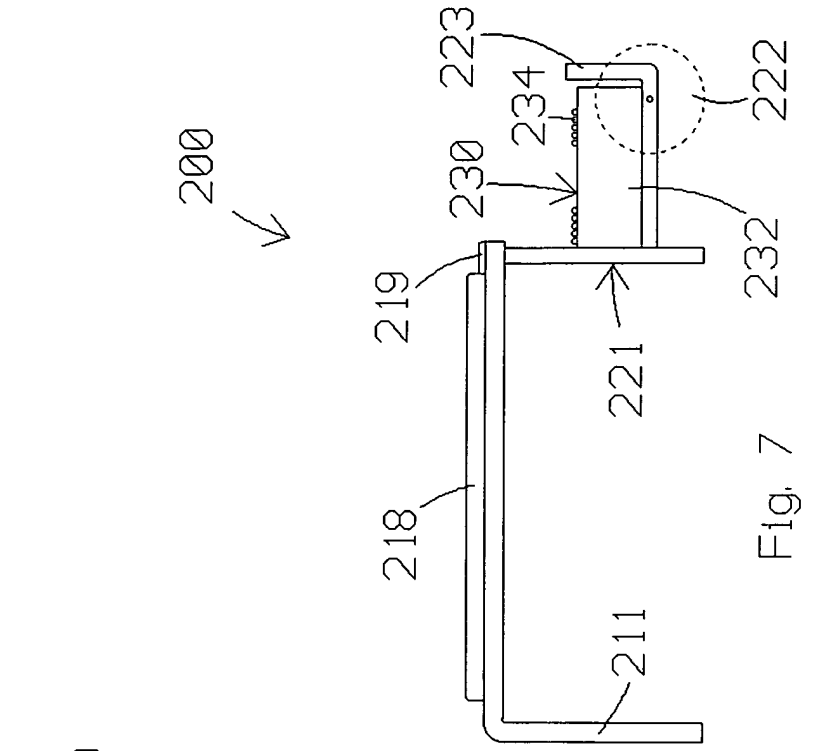


Fig. 6

Fig. 7

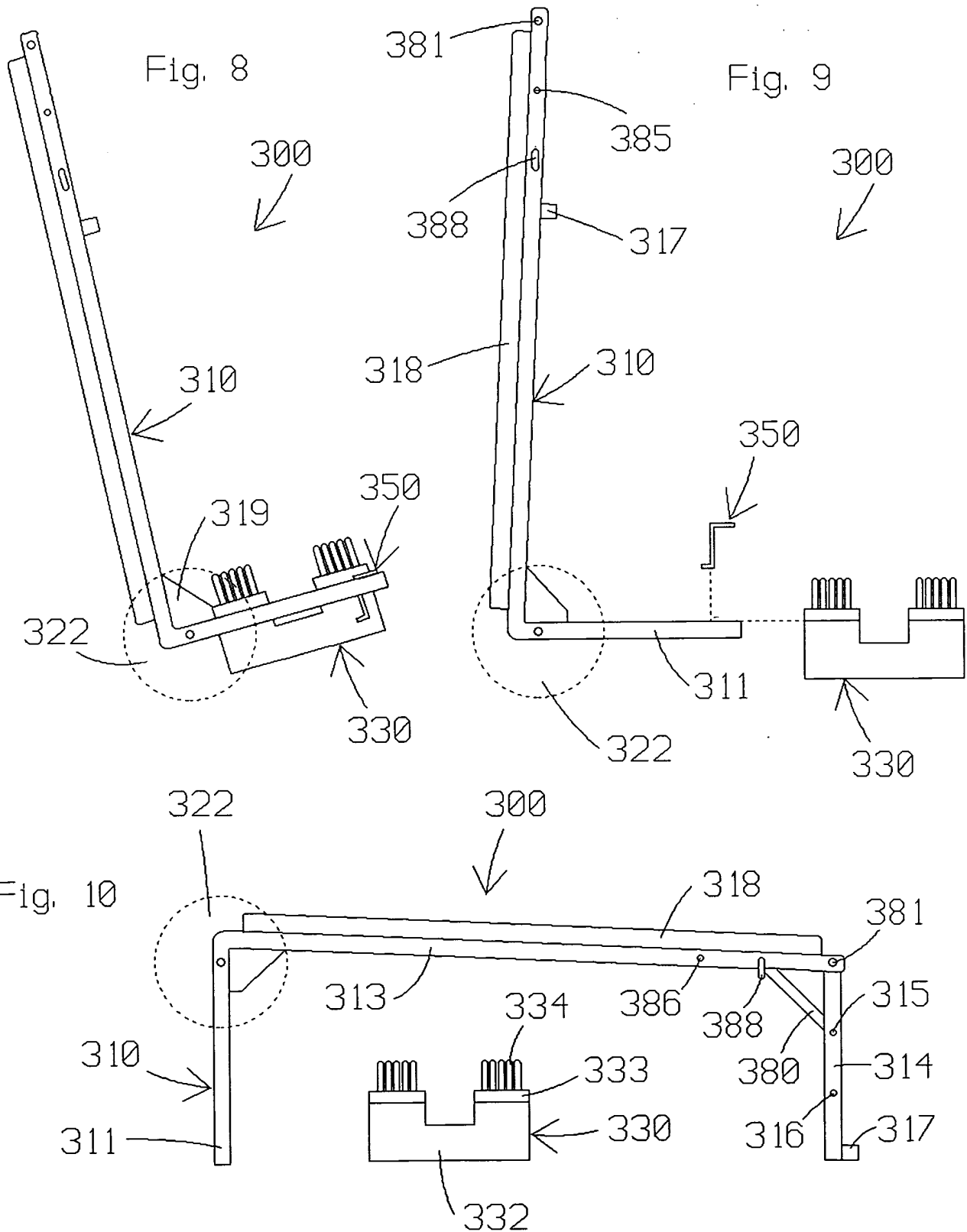


Fig. 11

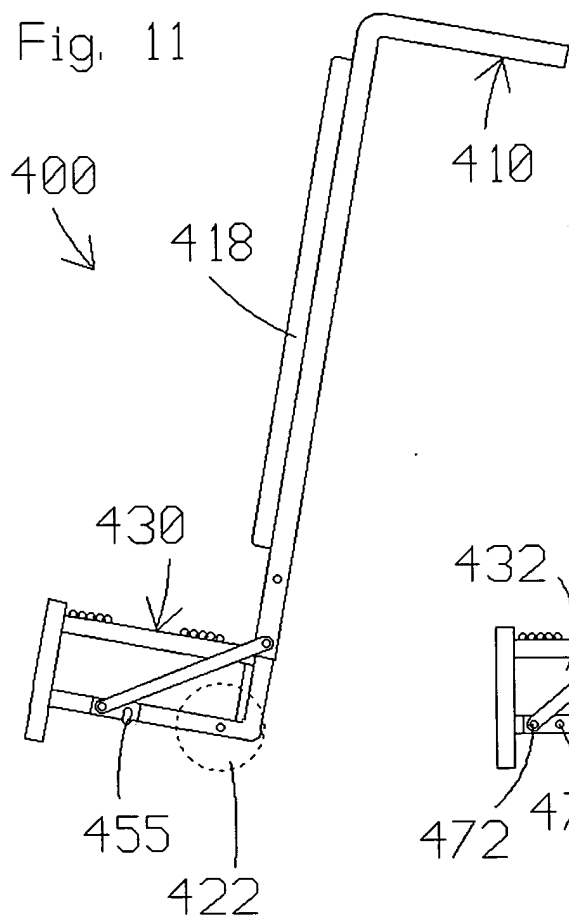
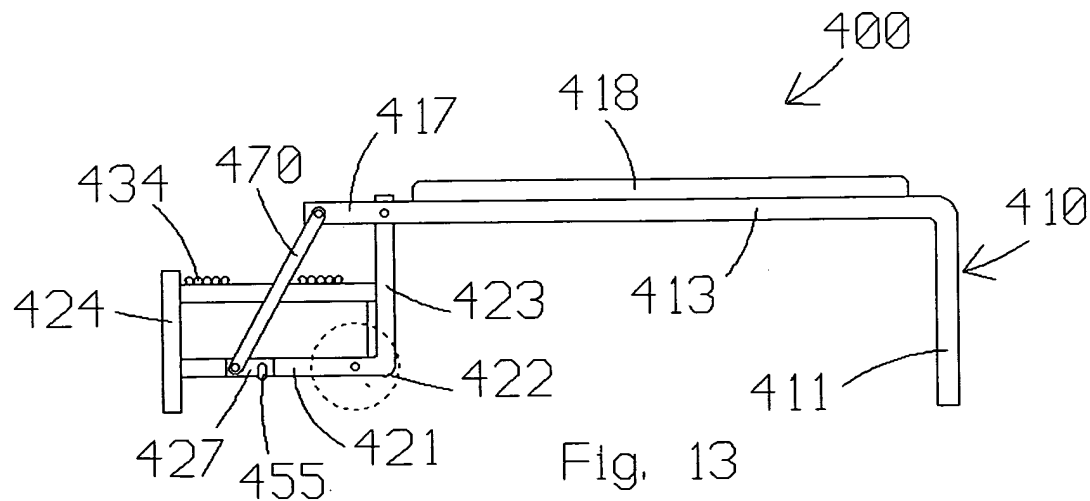
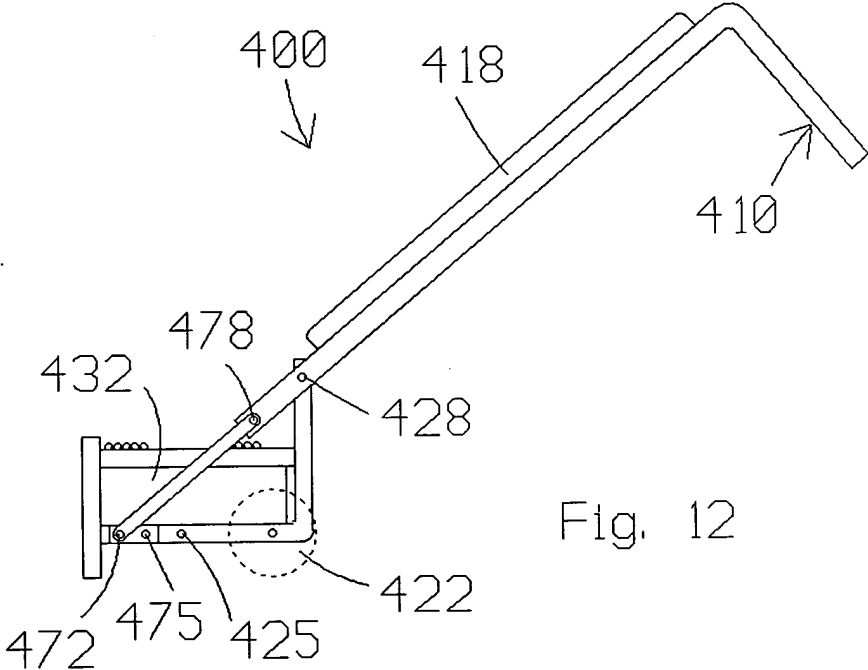
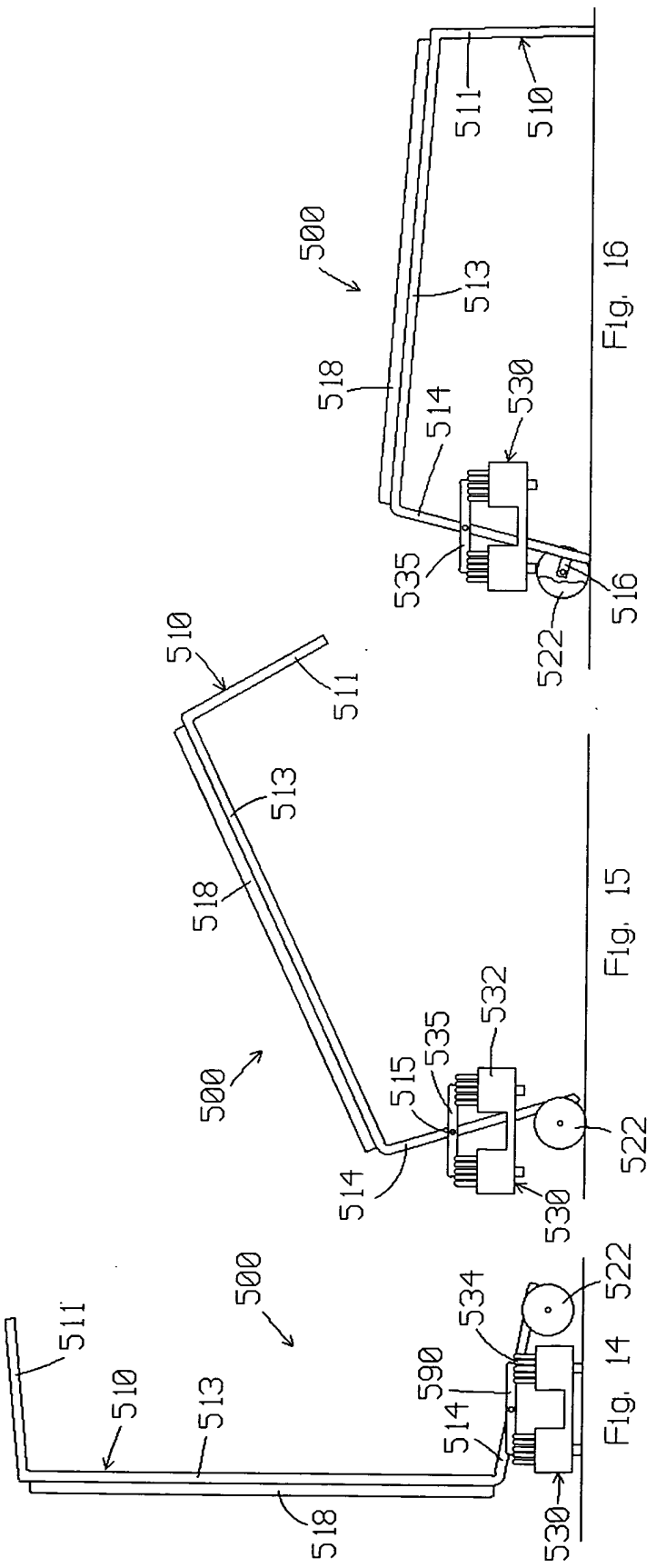
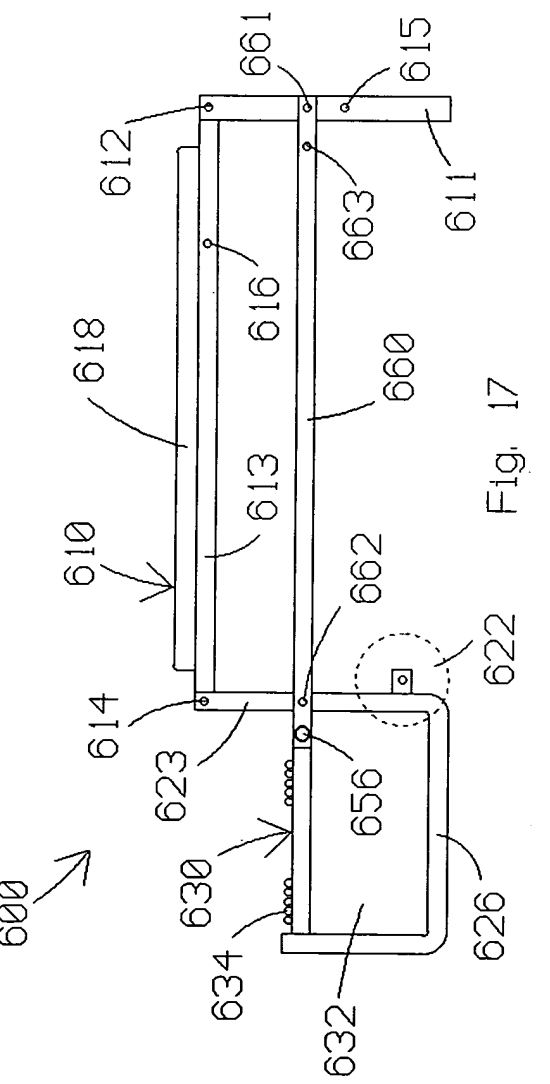
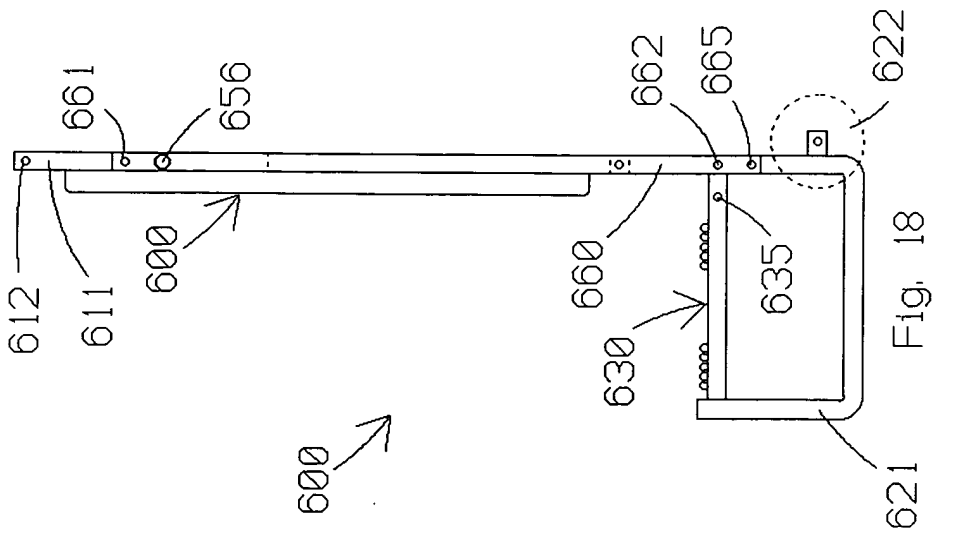
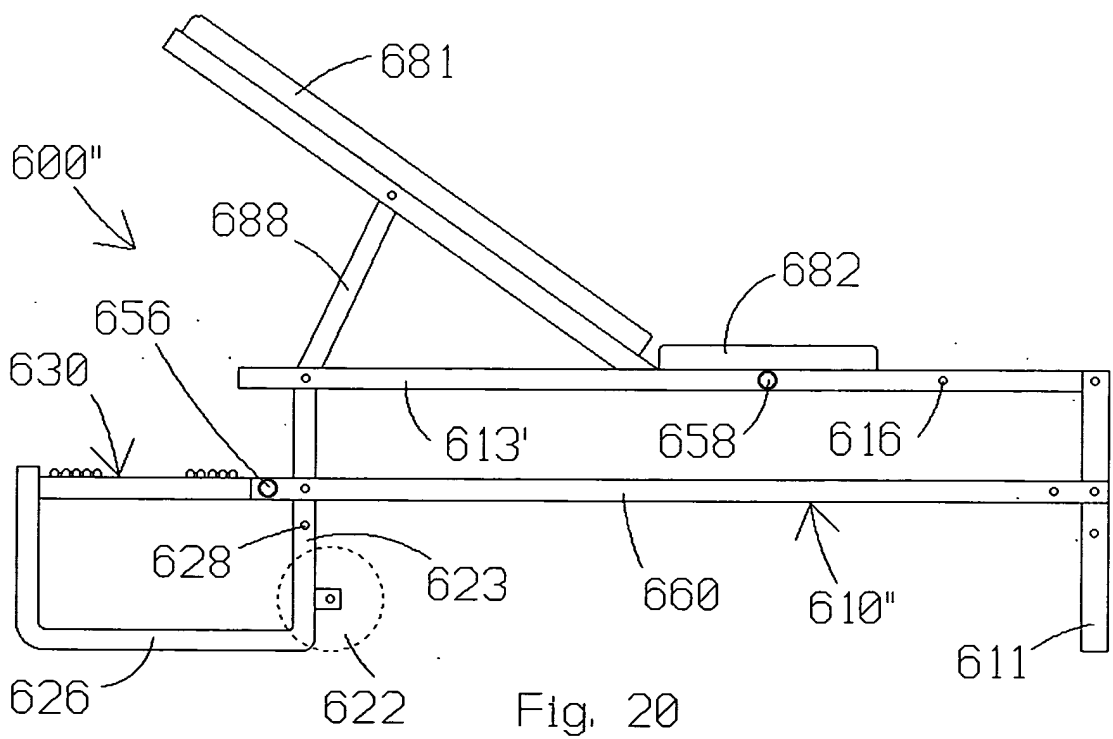
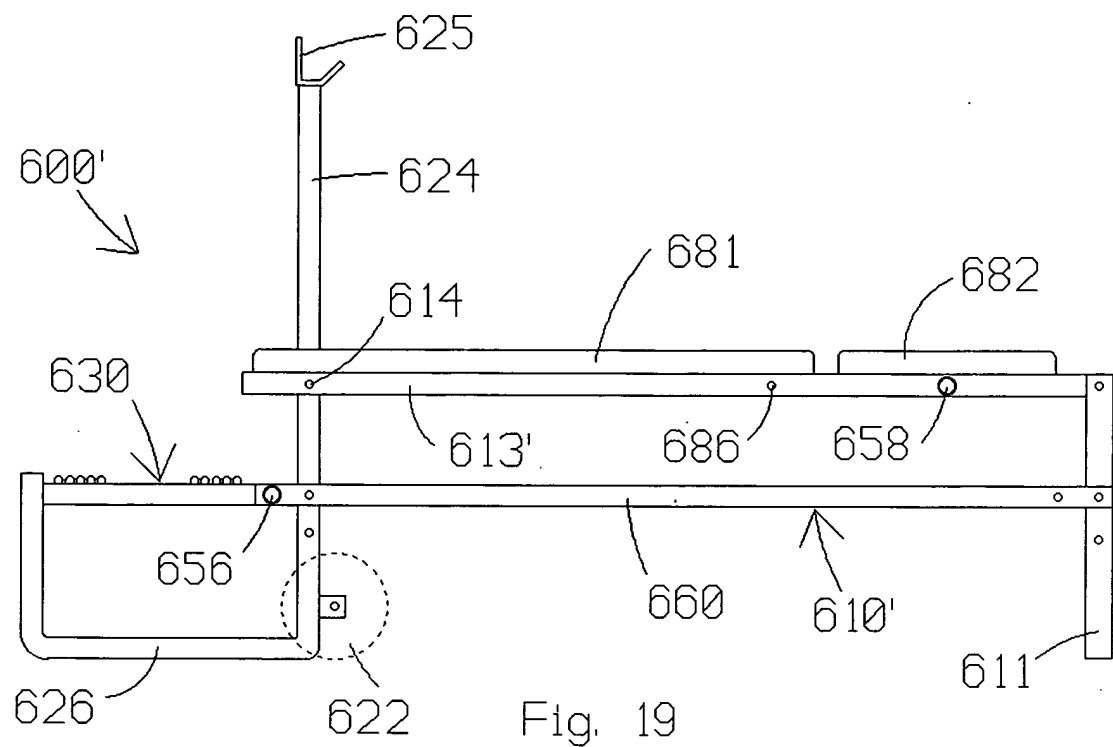


Fig. 12









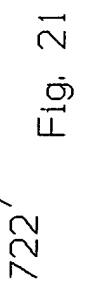


Fig. 21

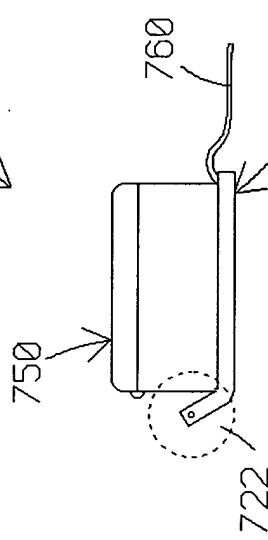


Fig. 22

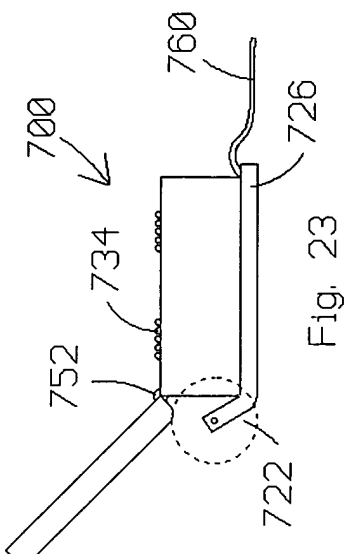


Fig. 23

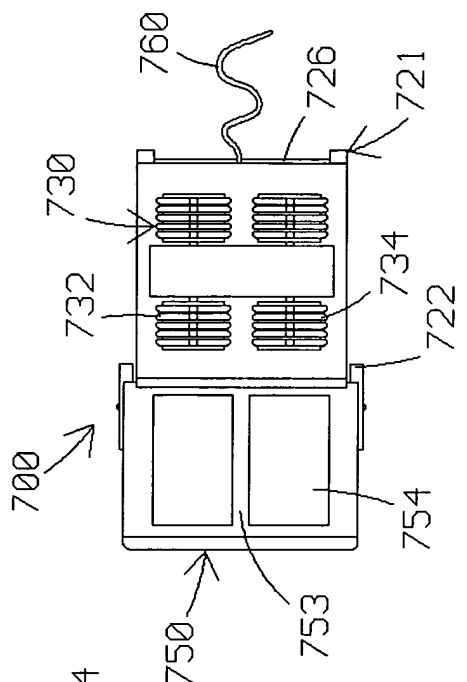


Fig. 24

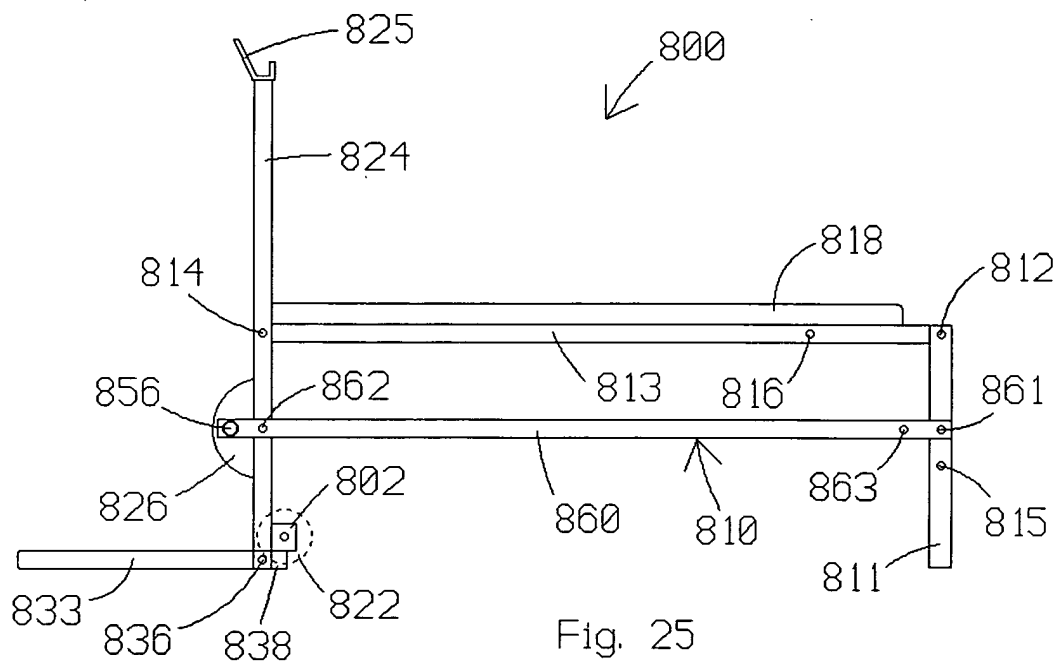


Fig. 25

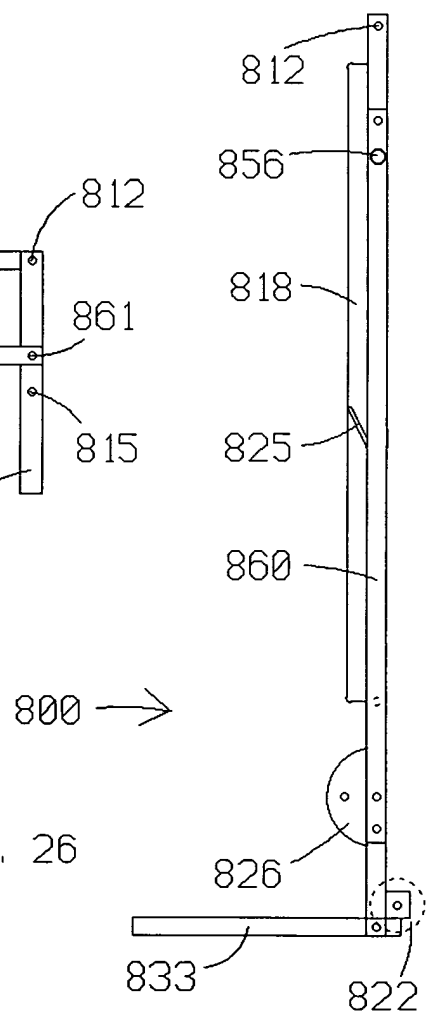
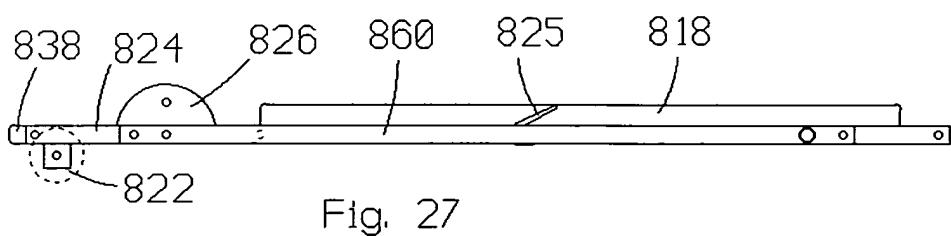


Fig. 26



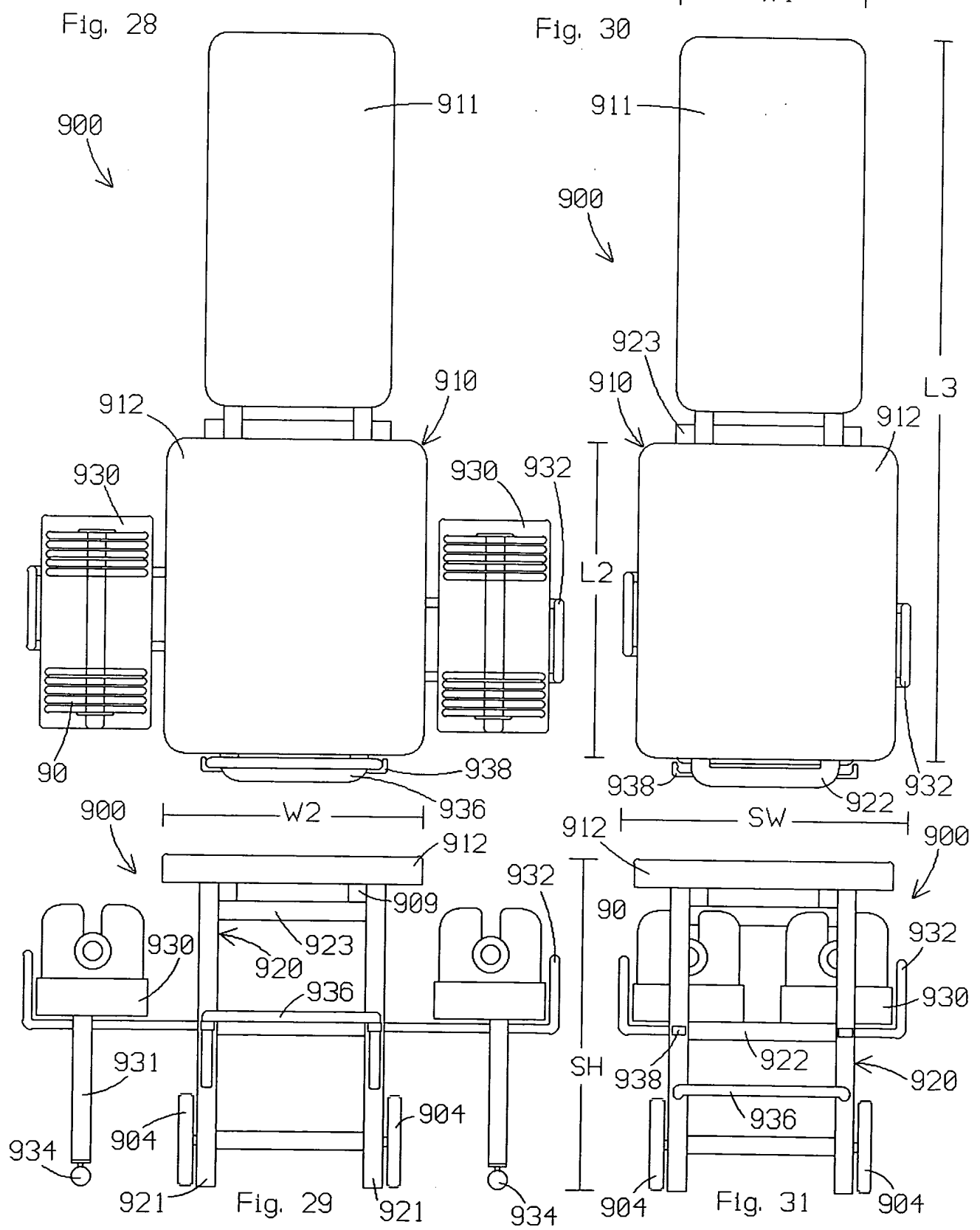


Fig. 33

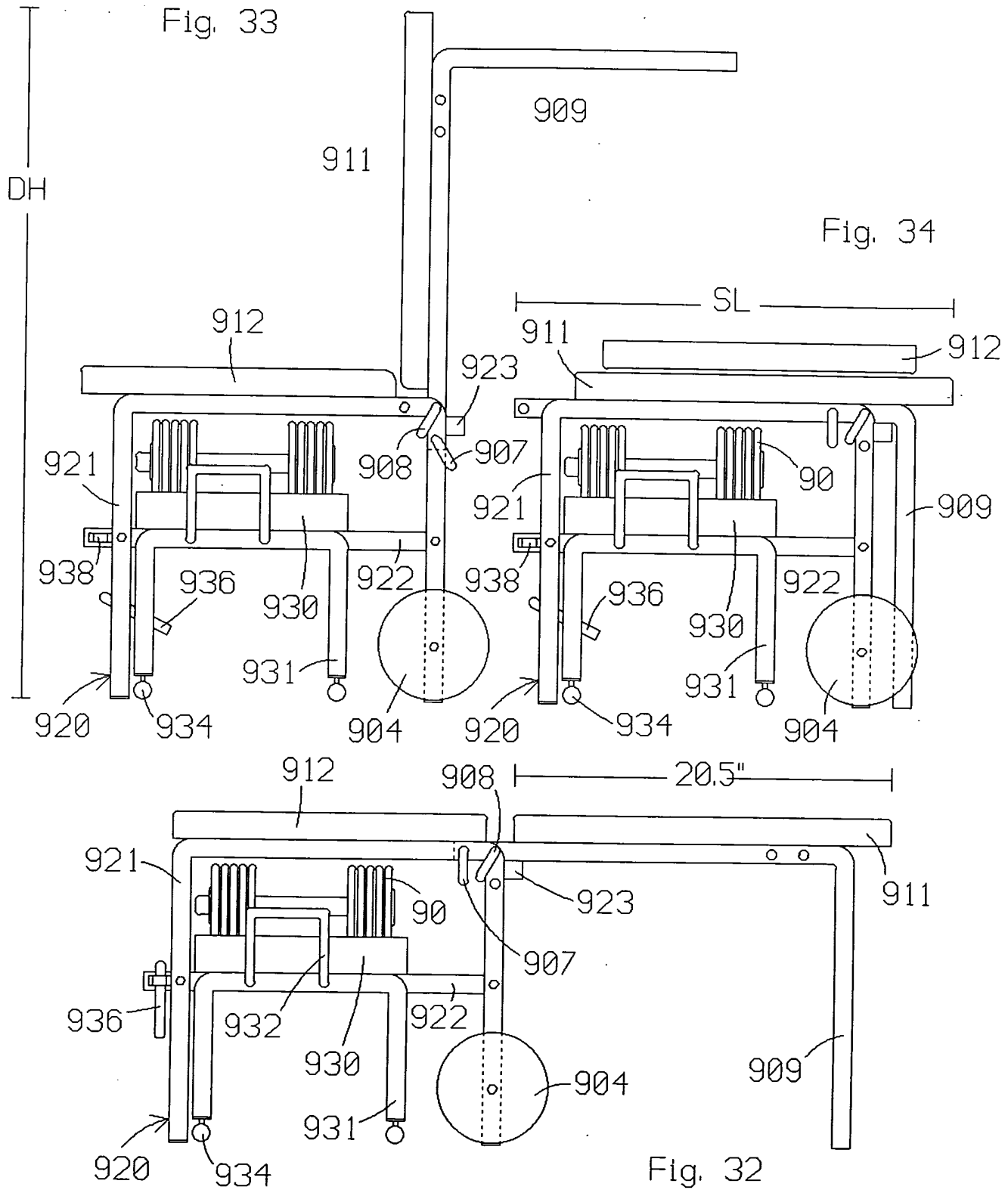
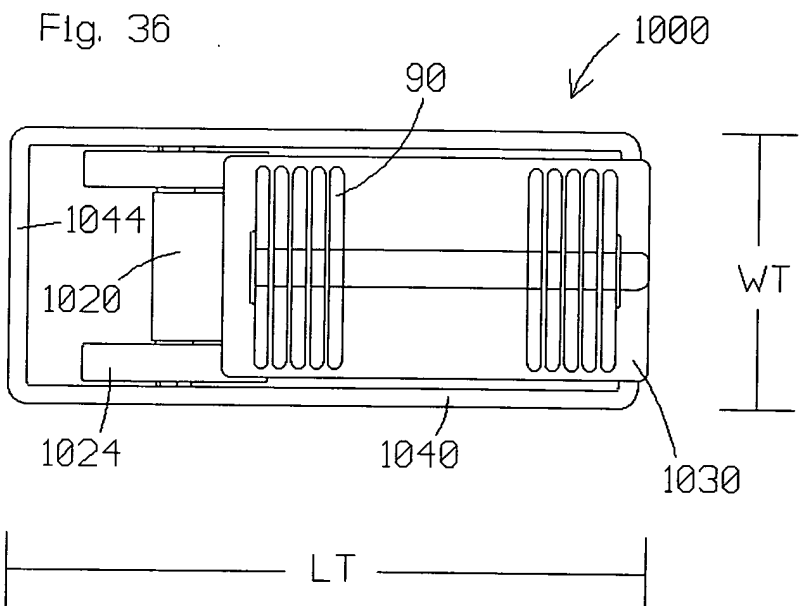


Fig. 32

Fig. 36



LT

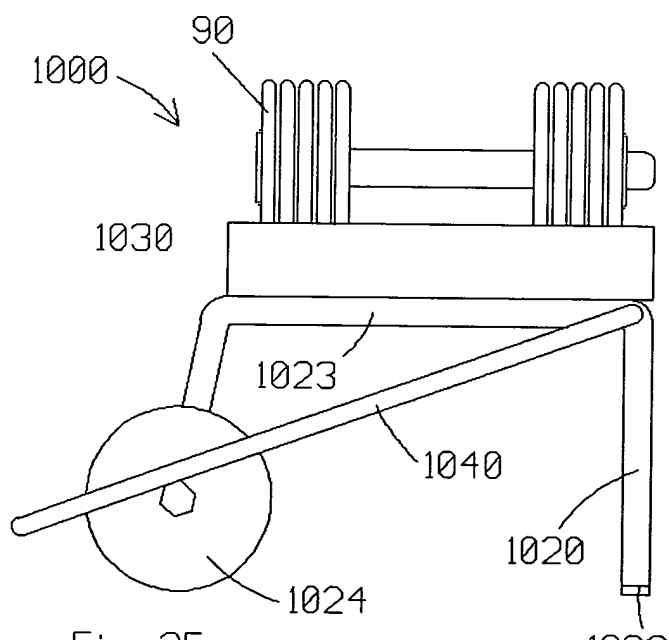


Fig. 35

Fig. 37

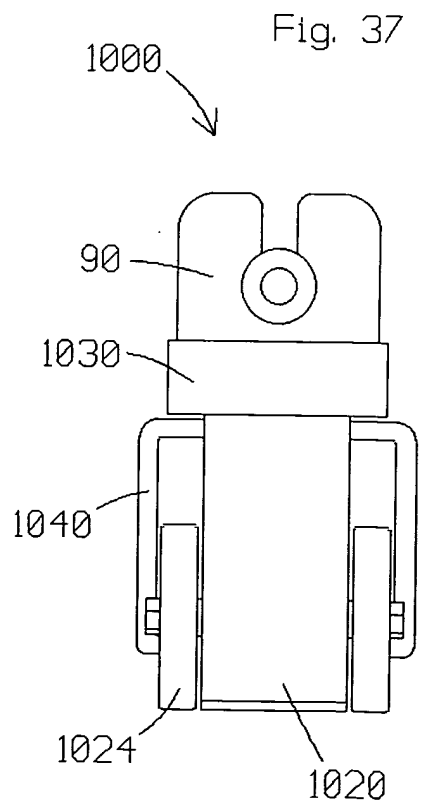


Fig. 38

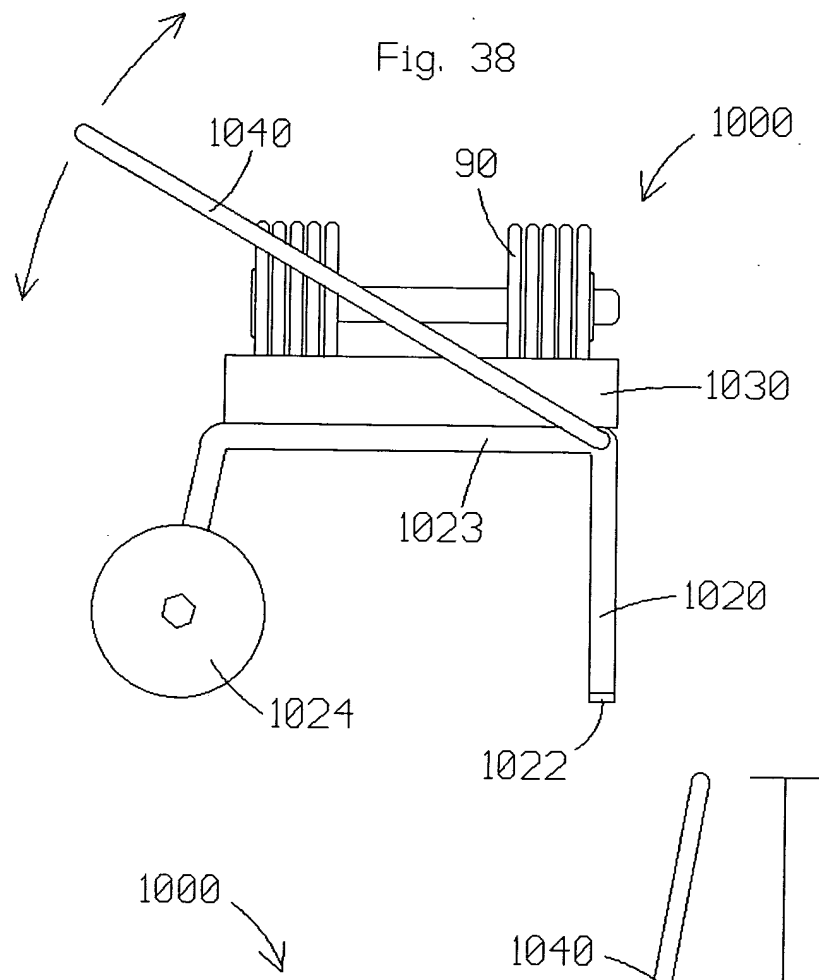
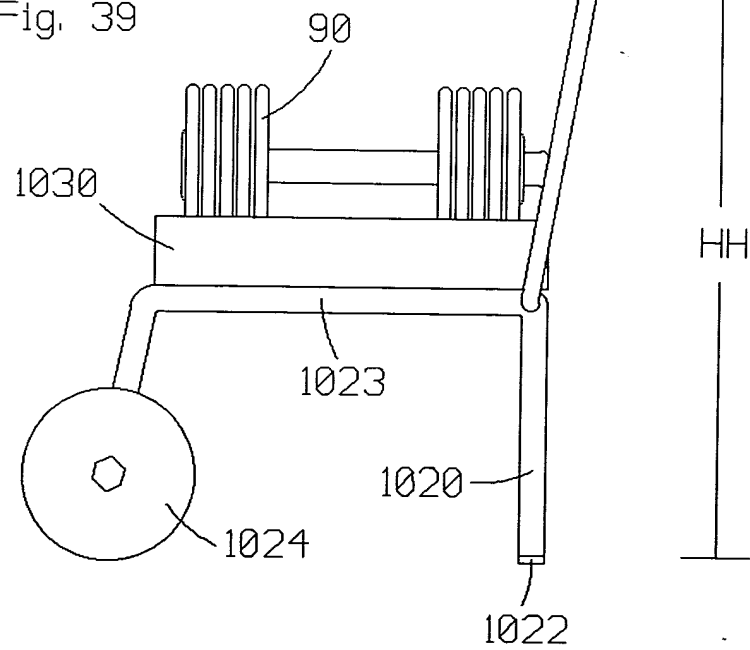
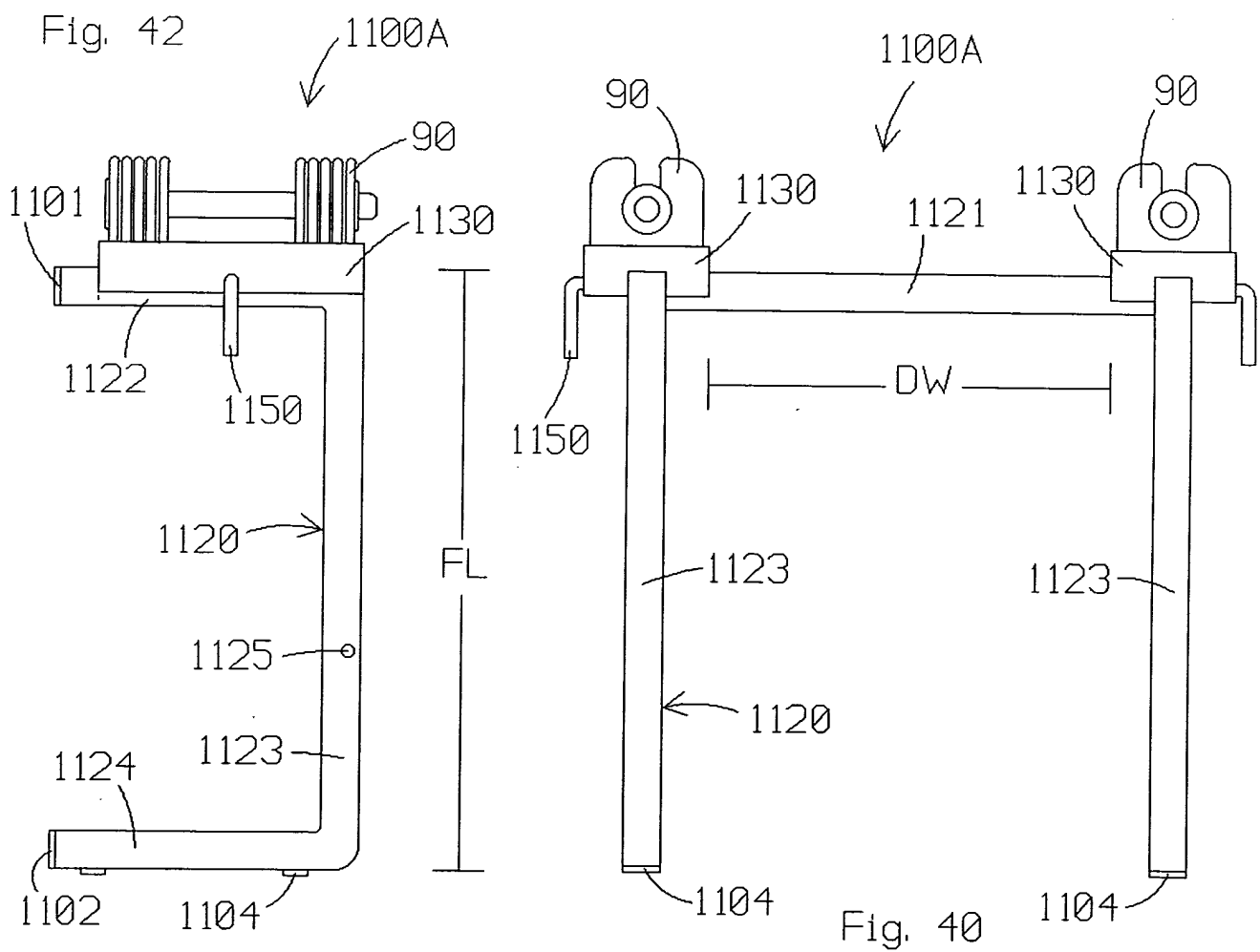
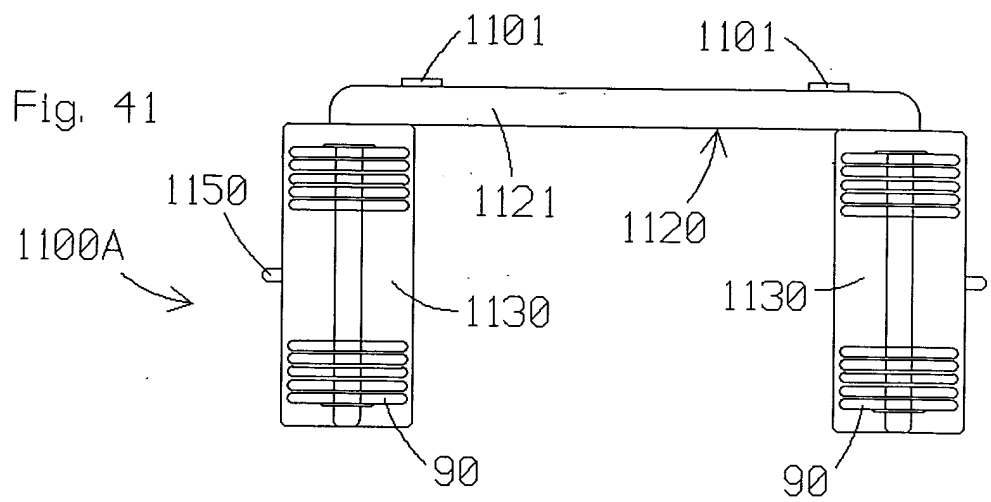
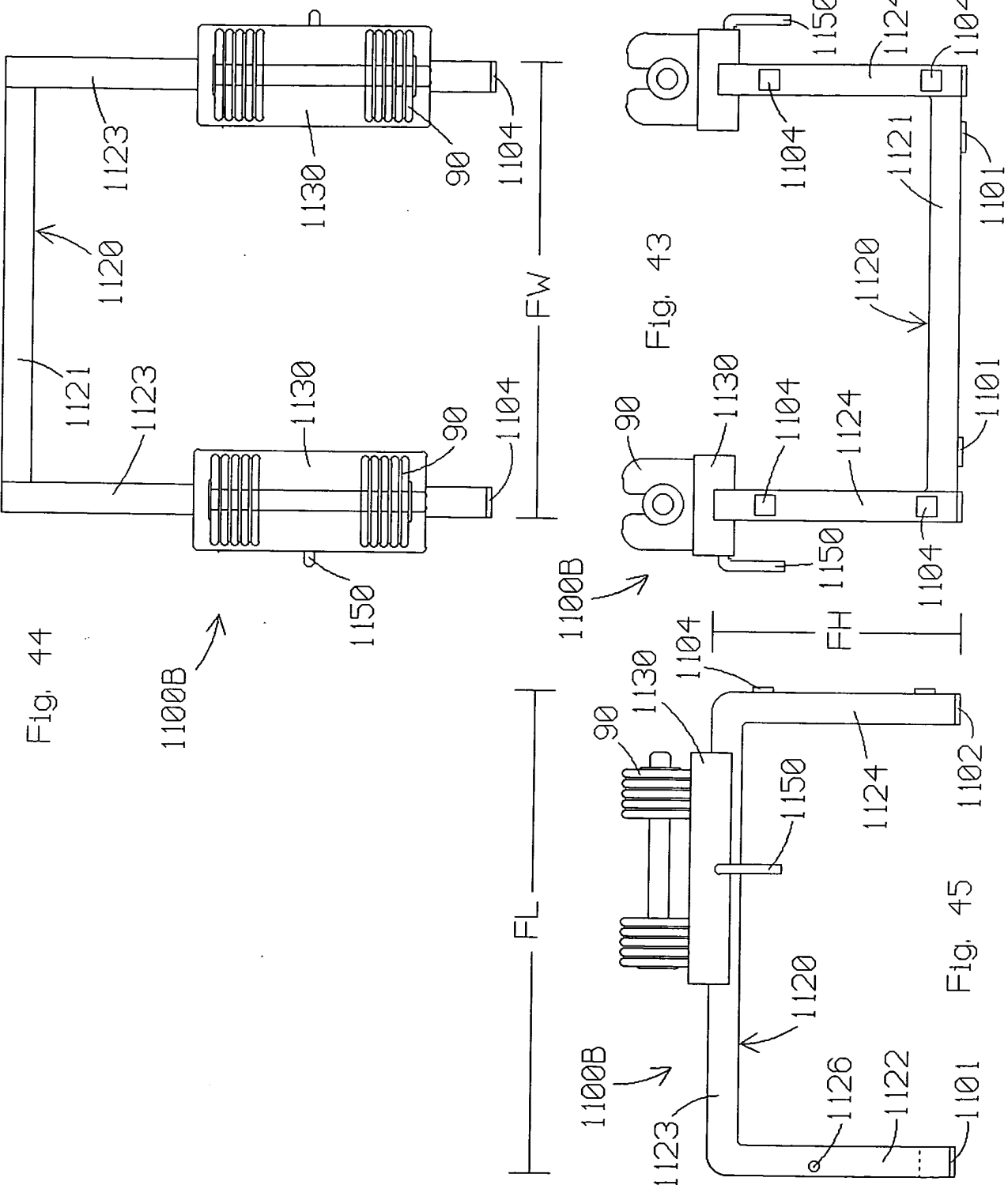
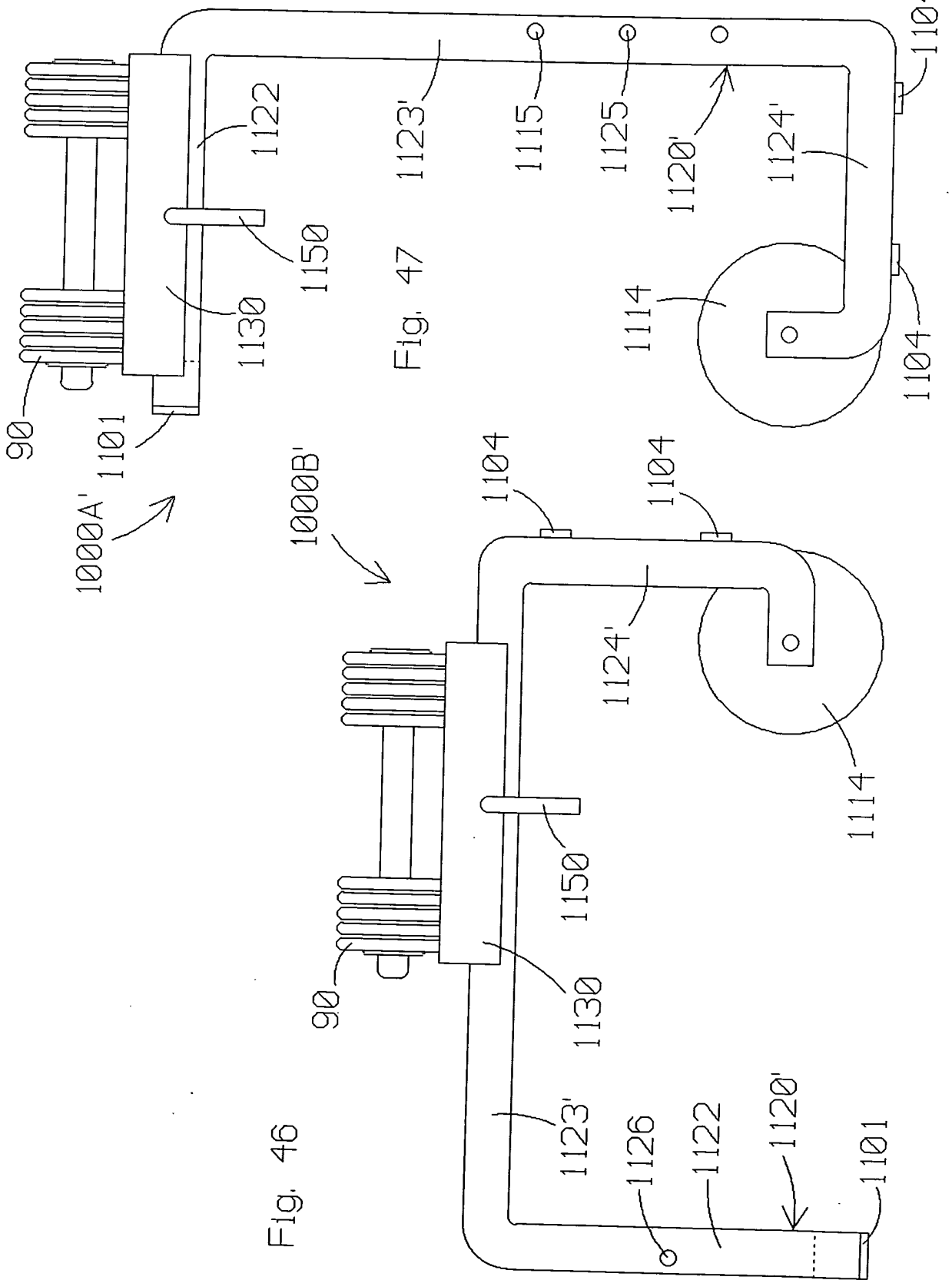


Fig. 39









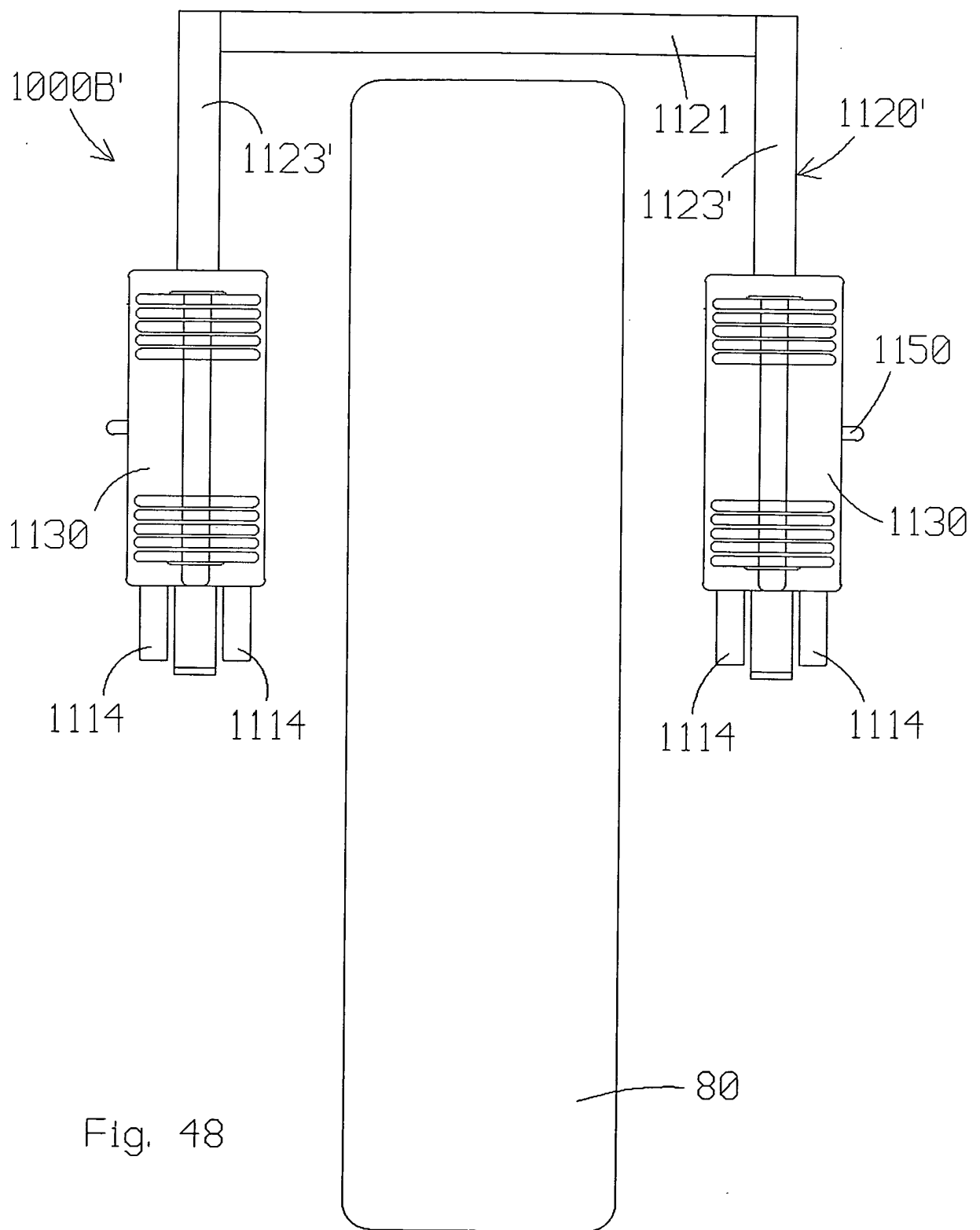


Fig. 48

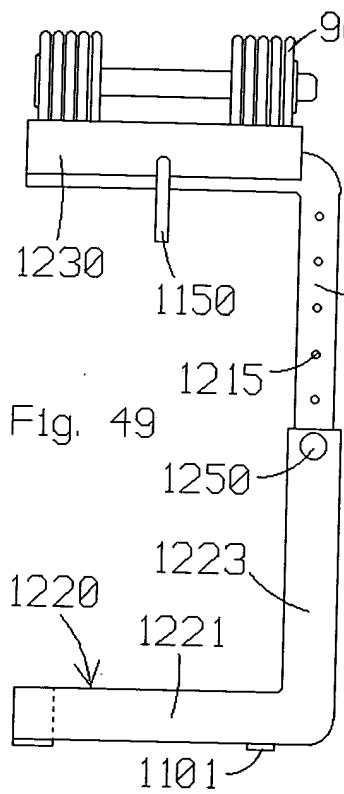


Fig. 49

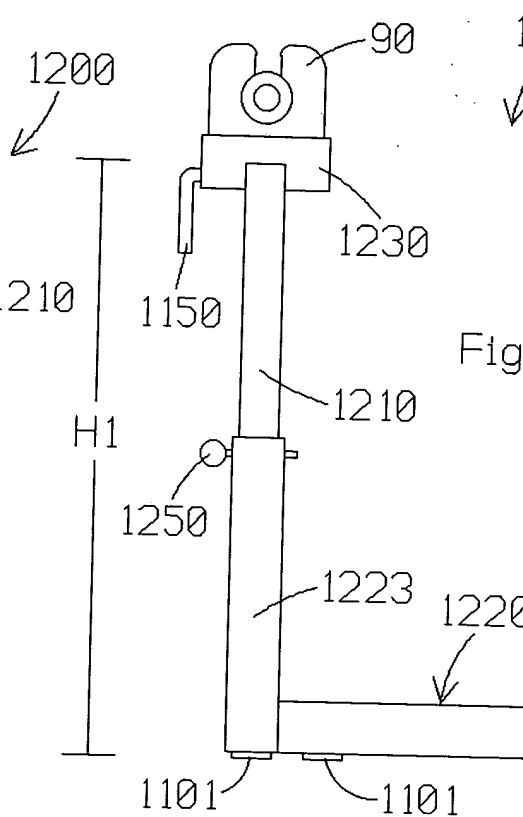


Fig. 50

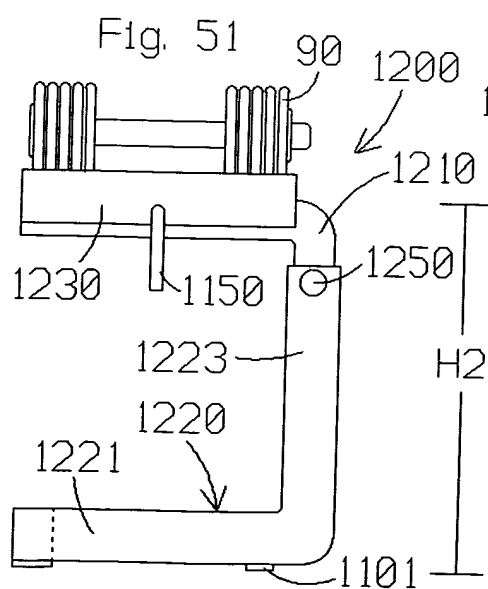
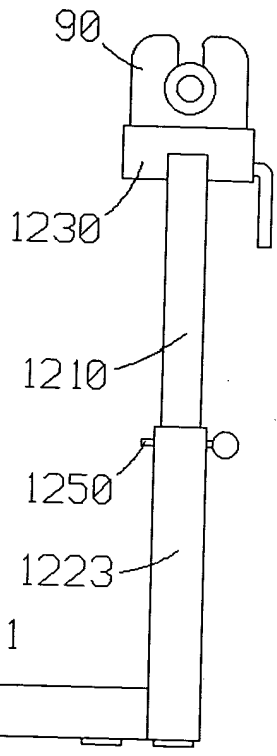


Fig. 51

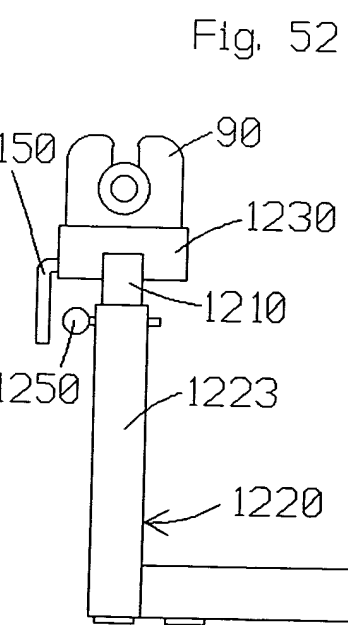
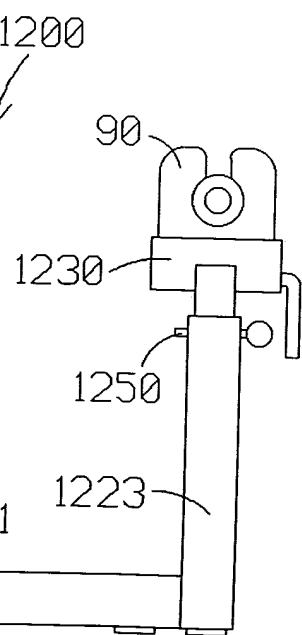
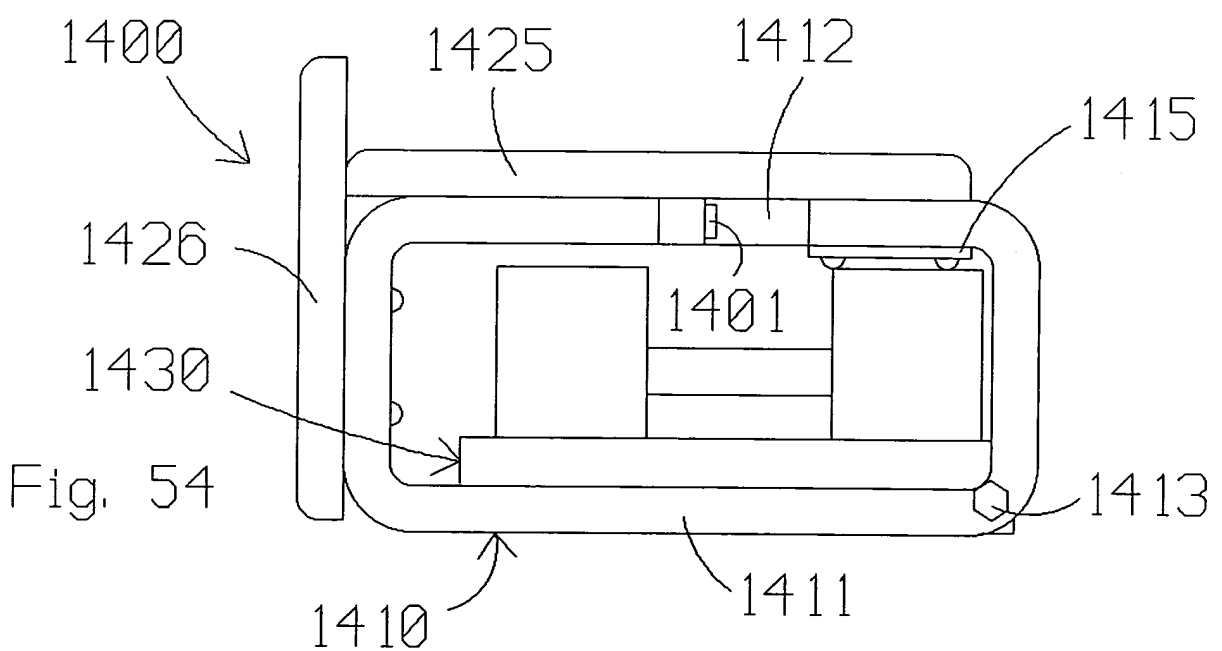
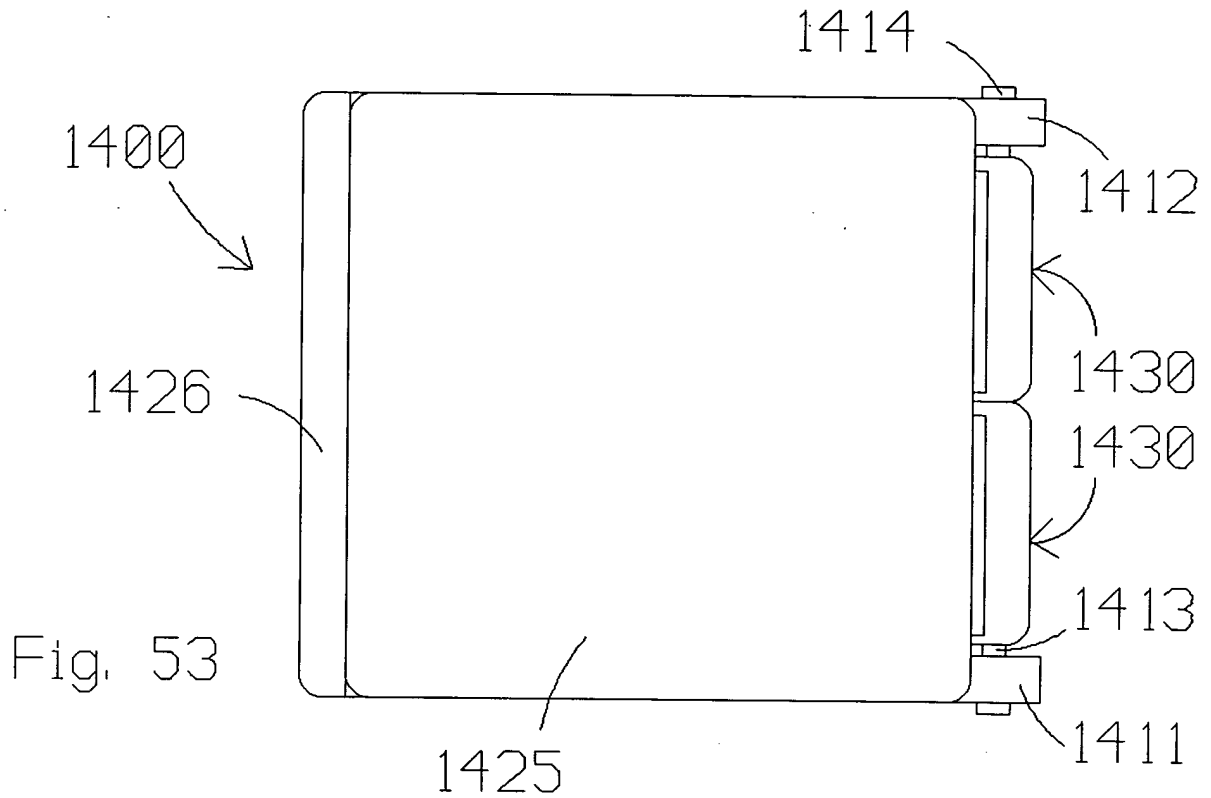
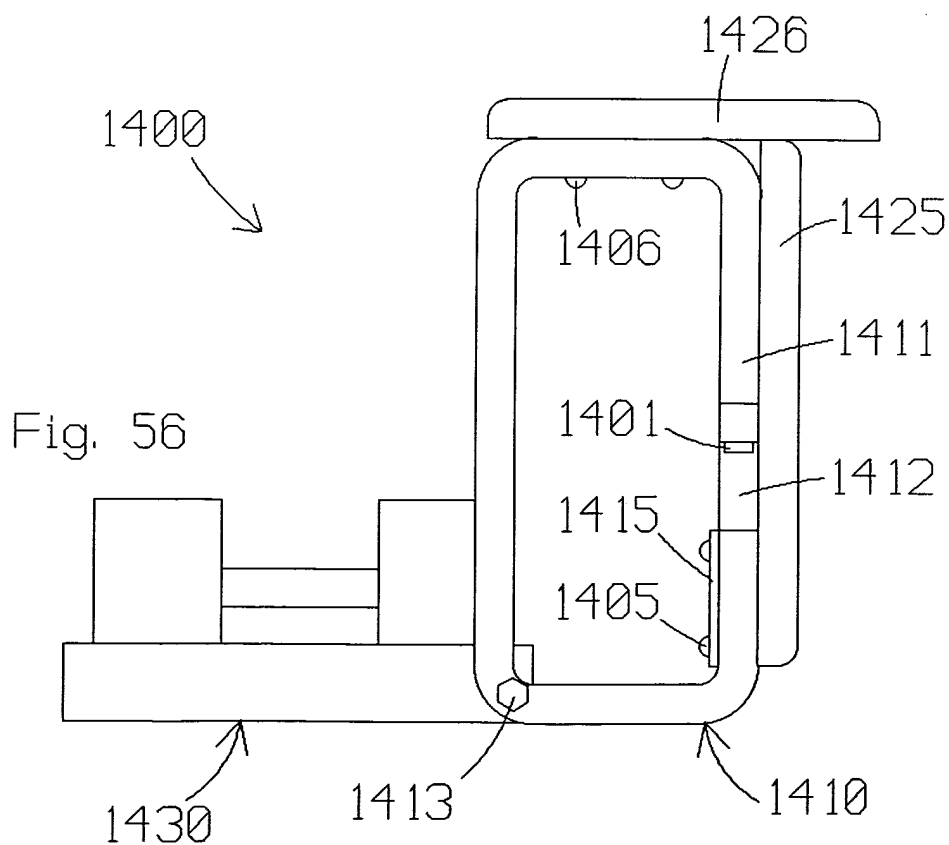
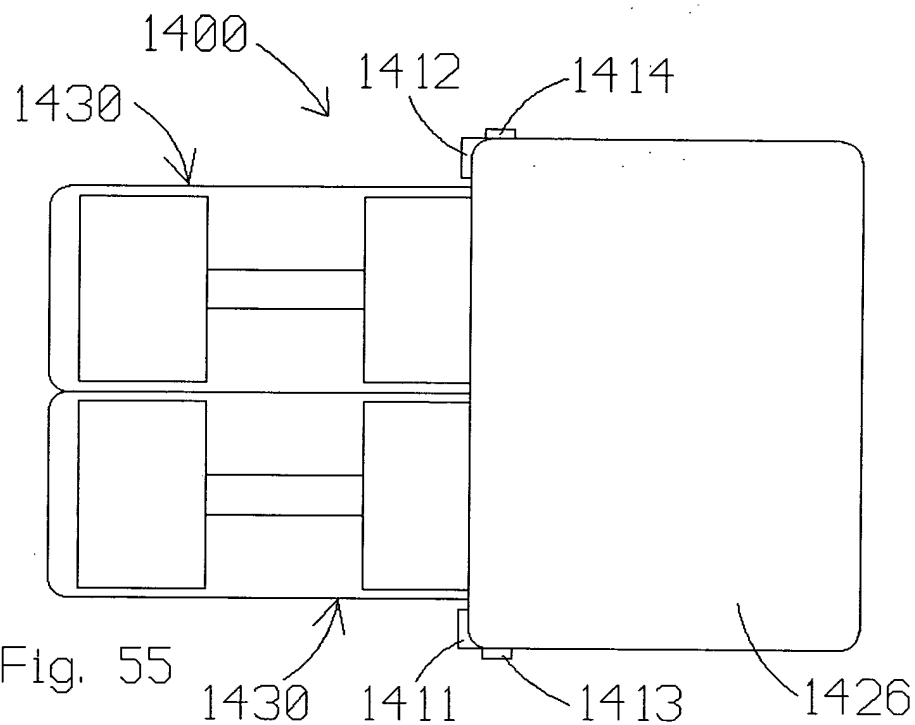


Fig. 52







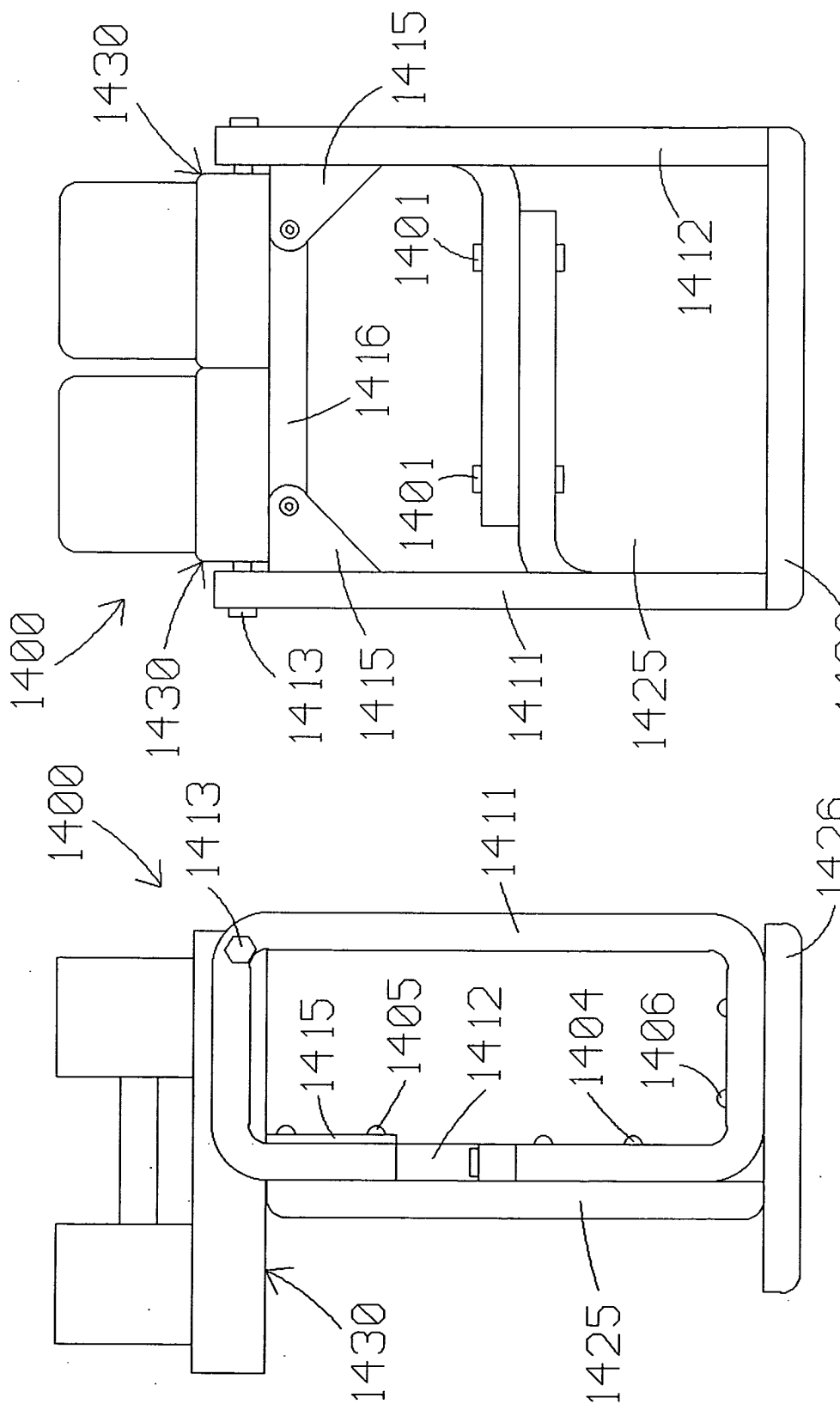


Fig. 57

Fig. 58

